

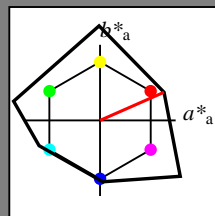
Eingabe: Farbmetrisches Reflexions-System NCS11

für Buntton $h^* = lab^*h = 24/360 = 0.066$ lab^*ich und lab^*nch

D65: Buntton R

LCH*Ma: 47 92 24

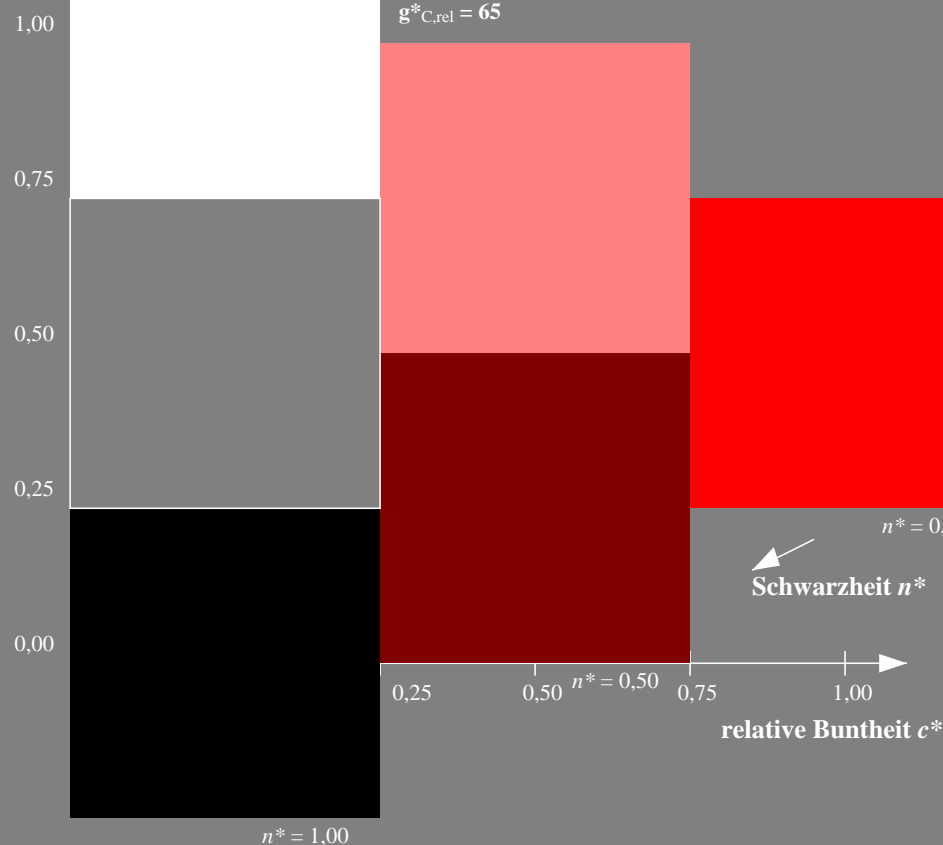
rgb*Ma: 1.0 0.0 0.0

Dreiecks-Helligkeit t^* 

%Umfang
 $u^*_{rel} = 149$
%Regularität
 $g^*_{H,rel} = 46$
 $g^*_{C,rel} = 65$

NCS11; adaptierte CIELAB-Daten

	$L^*=L^*_a$	a^*_a	b^*_a	$C^*_{ab,a}$	$h^*_{ab,a}$
RMa	47.15	84.64	37.25	92.48	24
JMa	91.37	-1.27	125.03	125.03	91
GMa	63.07	-114.28	25.35	117.06	167
G50BMa	59.47	-80.6	-33.45	87.28	203
BMa	49.01	3.65	-81.19	81.28	273
B50RMa	44.06	106.09	-73.93	129.32	325
NMa	10.99	0.0	0.0	0.0	0
WMa	95.41	0.0	0.0	0.0	0
RCIE	39.92	58.69	27.98	65.01	25
JCIE	81.26	-2.9	71.56	71.62	92
GCIE	52.23	-42.45	13.59	44.59	162
BCIE	30.57	1.35	-46.48	46.51	272



TG880-7, 3stufige Reihen für konstanten CIELAB Buntton 24/360 = 0.066 (links)

BAM-Prüfvorlage TG88; Farbmetrik-Systeme ORS18 & ORS18 input: $olv^* setrgbcolor$

D65: 3 und 5stufige Farbreihen für 10 Bunttöne

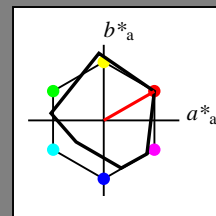
Ausgabe: Farbmetrisches Reflexions-System MRS18

für Buntton $h^* = lab^*h = 30/360 = 0.083$ lab^*ich und lab^*nch

D65: Buntton R

LCH*Ma: 50 77 30

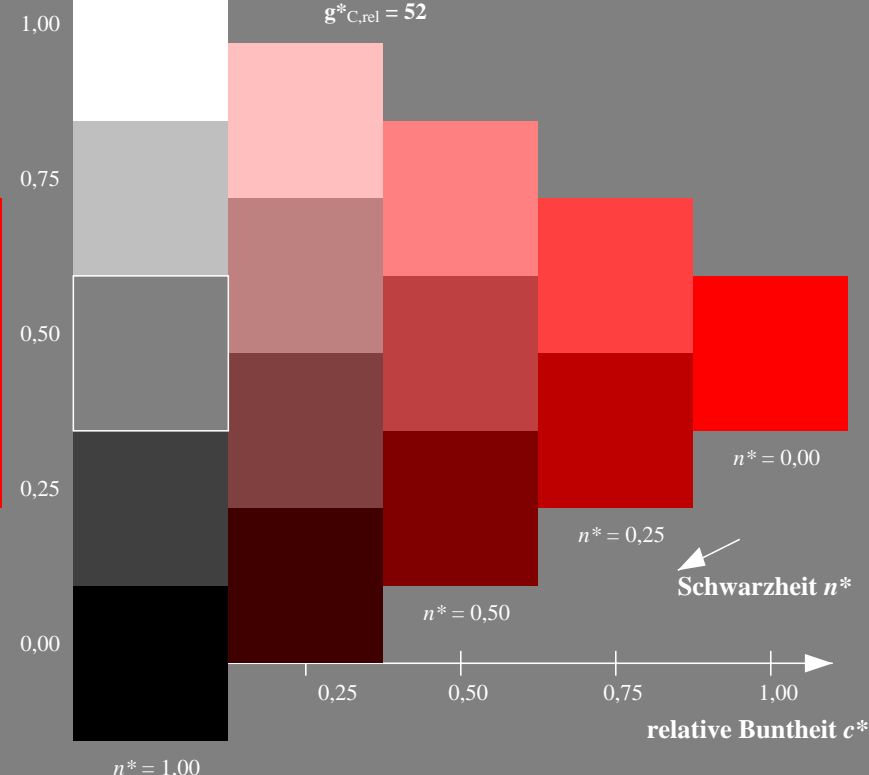
rgb*Ma: 1.0 0.0 0.0

Dreiecks-Helligkeit t^* 

%Umfang
 $u^*_{rel} = 91$
%Regularität
 $g^*_{H,rel} = 41$
 $g^*_{C,rel} = 52$

MRS18; adaptierte CIELAB-Daten

	$L^*=L^*_a$	a^*_a	b^*_a	$C^*_{ab,a}$	$h^*_{ab,a}$
RMa	49.63	66.96	38.37	77.18	30
JMa	90.7	-6.36	88.75	88.98	94
GMa	52.11	-69.73	9.44	70.37	172
G50BMa	45.03	-36.57	-28.47	46.36	218
BMa	36.65	23.19	-63.05	67.18	290
B50RMa	34.94	57.17	-44.26	72.31	322
NMa	18.01	0.0	0.0	0.0	0
WMa	95.41	0.0	0.0	0.0	0
RCIE	39.92	58.66	26.98	64.56	25
JCIE	81.26	-2.17	67.76	67.79	92
GCIE	52.23	-42.26	11.75	43.87	164
BCIE	30.57	1.15	-46.84	46.87	271



5stufige Reihen für konstanten CIELAB Buntton 30/360 = 0.083 (rechts)

output: *Startup (S) data dependend*

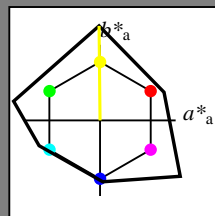
Eingabe: Farbmatisches Reflexions-System NCS11

für Buntton $h^* = lab^*h = 91/360 = 0.252$ lab^*ich und lab^*nch

D65: Buntton J

LCH*Ma: 91 125 91

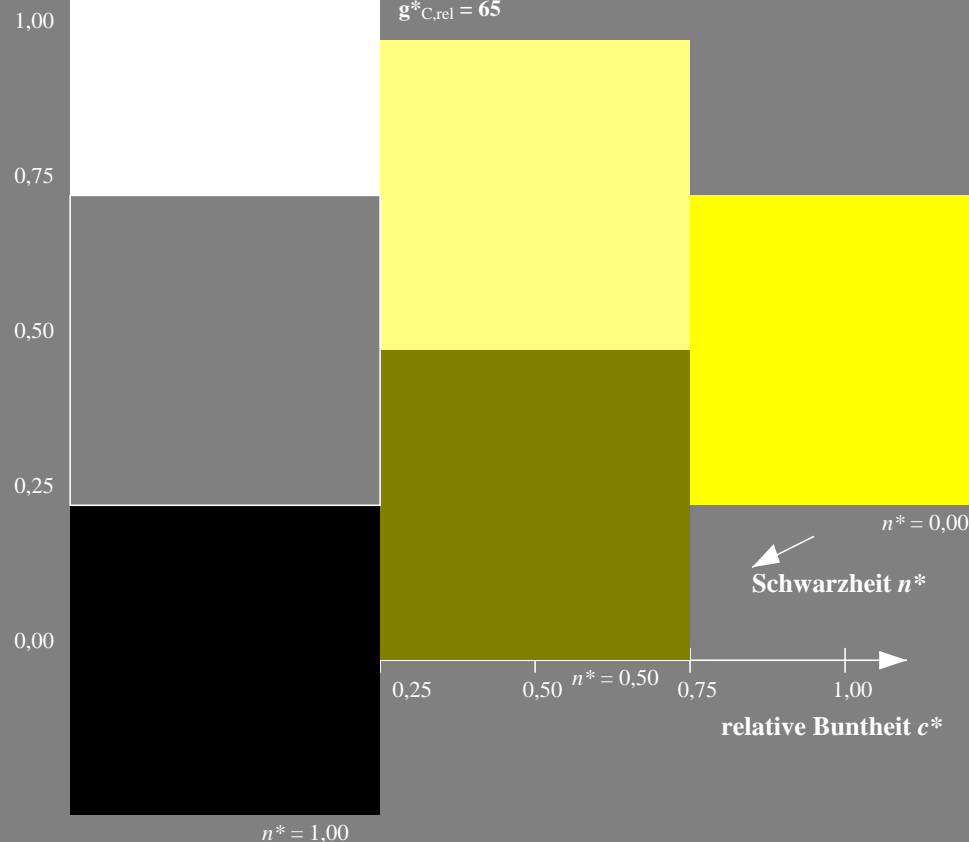
rgb*Ma: 1.0 1.0 0.0

Dreiecks-Helligkeit t^* 

%Umfang
 $u^*_{rel} = 149$
%Regularität
 $g^*_{H,rel} = 46$
 $g^*_{C,rel} = 65$

NCS11; adaptierte CIELAB-Daten

	$L^*=L^*_a$	a^*_a	b^*_a	$C^*_{ab,a}$	$h^*_{ab,a}$
RMa	47.15	84.64	37.25	92.48	24
JMa	91.37	-1.27	125.03	125.03	91
GMa	63.07	-114.28	25.35	117.06	167
G50BMa	59.47	-80.6	-33.45	87.28	203
BMa	49.01	3.65	-81.19	81.28	273
B50RMa	44.06	106.09	-73.93	129.32	325
NMa	10.99	0.0	0.0	0.0	0
WMa	95.41	0.0	0.0	0.0	0
RCIE	39.92	58.69	27.98	65.01	25
JCIE	81.26	-2.9	71.56	71.62	92
GCIE	52.23	-42.45	13.59	44.59	162
BCIE	30.57	1.35	-46.48	46.51	272



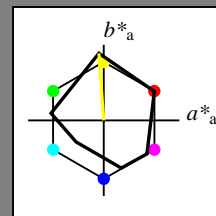
Ausgabe: Farbmatisches Reflexions-System MRS18

für Buntton $h^* = lab^*h = 94/360 = 0.261$ lab^*ich und lab^*nch

D65: Buntton J

LCH*Ma: 91 89 94

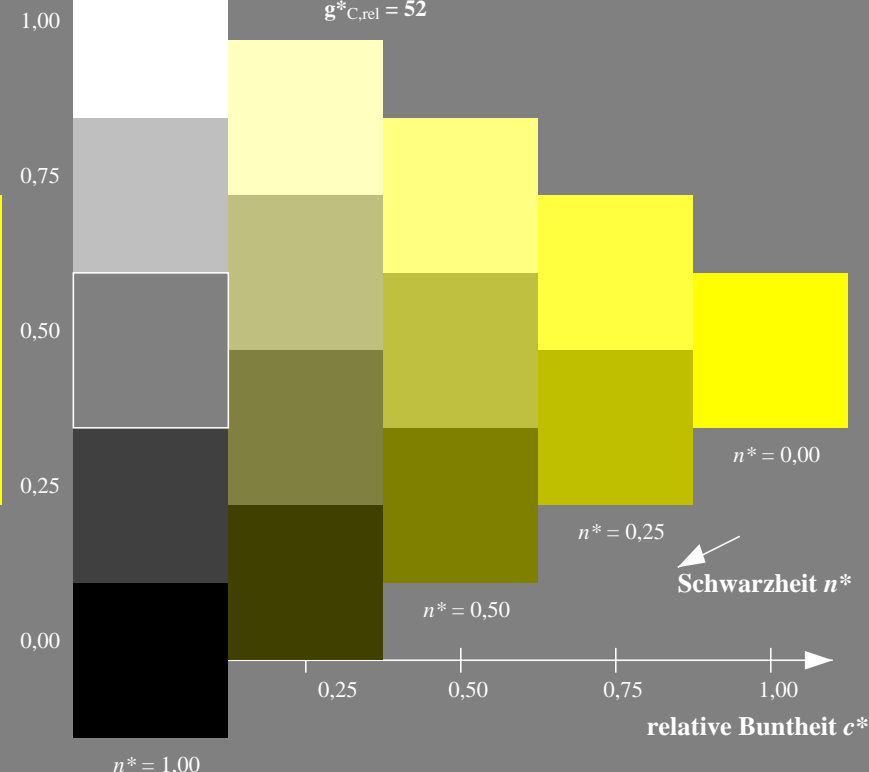
rgb*Ma: 1.0 1.0 0.0

Dreiecks-Helligkeit t^* 

%Umfang
 $u^*_{rel} = 91$
%Regularität
 $g^*_{H,rel} = 41$
 $g^*_{C,rel} = 52$

MRS18; adaptierte CIELAB-Daten

	$L^*=L^*_a$	a^*_a	b^*_a	$C^*_{ab,a}$	$h^*_{ab,a}$
RMa	49.63	66.96	38.37	77.18	30
JMa	90.7	-6.36	88.75	88.98	94
GMa	52.11	-69.73	9.44	70.37	172
G50BMa	45.03	-36.57	-28.47	46.36	218
BMa	36.65	23.19	-63.05	67.18	290
B50RMa	34.94	57.17	-44.26	72.31	322
NMa	18.01	0.0	0.0	0.0	0
WMa	95.41	0.0	0.0	0.0	0
RCIE	39.92	58.66	26.98	64.56	25
JCIE	81.26	-2.17	67.76	67.79	92
GCIE	52.23	-42.26	11.75	43.87	164
BCIE	30.57	1.15	-46.84	46.87	271



TG880-7, 3stufige Reihen für konstanten CIELAB Buntton 91/360 = 0.252 (links)

5stufige Reihen für konstanten CIELAB Buntton 94/360 = 0.261 (rechts)

BAM-Prüfvorlage TG88; Farbmatrik-Systeme ORS18 & ORS18 input: $olv^* setrgbcolor$

D65: 3 und 5stufige Farbreihen für 10 Bunttöne

output: Startup (S) data dependend

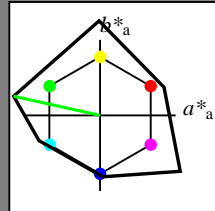
Eingabe: Farbmatisches Reflexions-System NCS11

für Buntton $h^* = lab^*h = 167/360 = 0.465$ lab^*ich und lab^*nch

D65: Buntton G

LCH*Ma: 63 117 167

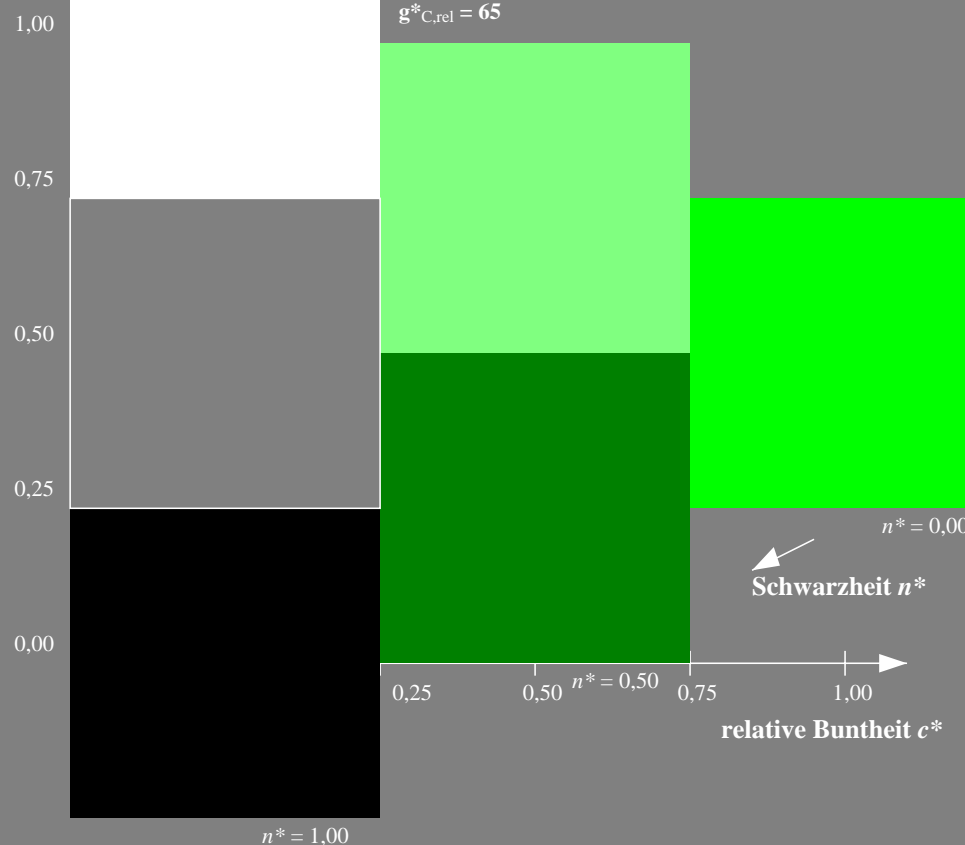
rgb*Ma: 0.0 1.0 0.0

Dreiecks-Helligkeit t^* 

%Umfang
 $u^*_{rel} = 149$
%Regularität
 $g^*_{H,rel} = 46$
 $g^*_{C,rel} = 65$

NCS11; adaptierte CIELAB-Daten

	$L^*=L^*_a$	a^*_a	b^*_a	$C^*_{ab,a}$	$h^*_{ab,a}$
RMa	47.15	84.64	37.25	92.48	24
JMa	91.37	-1.27	125.03	125.03	91
GMa	63.07	-114.28	25.35	117.06	167
G50BMa	59.47	-80.6	-33.45	87.28	203
BMa	49.01	3.65	-81.19	81.28	273
B50RMa	44.06	106.09	-73.93	129.32	325
NMa	10.99	0.0	0.0	0.0	0
WMa	95.41	0.0	0.0	0.0	0
RCIE	39.92	58.69	27.98	65.01	25
JCIE	81.26	-2.9	71.56	71.62	92
GCIE	52.23	-42.45	13.59	44.59	162
BCIE	30.57	1.35	-46.48	46.51	272



TG880-7, 3stufige Reihen für konstanten CIELAB Buntton 167/360 = 0.465 (links)

BAM-Prüfvorlage TG88; Farbmeter-Systeme ORS18 & ORS18 input: $olv^* setrgbcolor$

D65: 3 und 5stufige Farbreihen für 10 Bunttöne

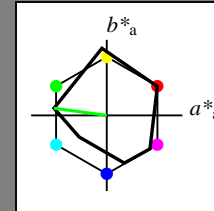
Ausgabe: Farbmatisches Reflexions-System MRS18

für Buntton $h^* = lab^*h = 172/360 = 0.479$ lab^*ich und lab^*nch

D65: Buntton G

LCH*Ma: 52 70 172

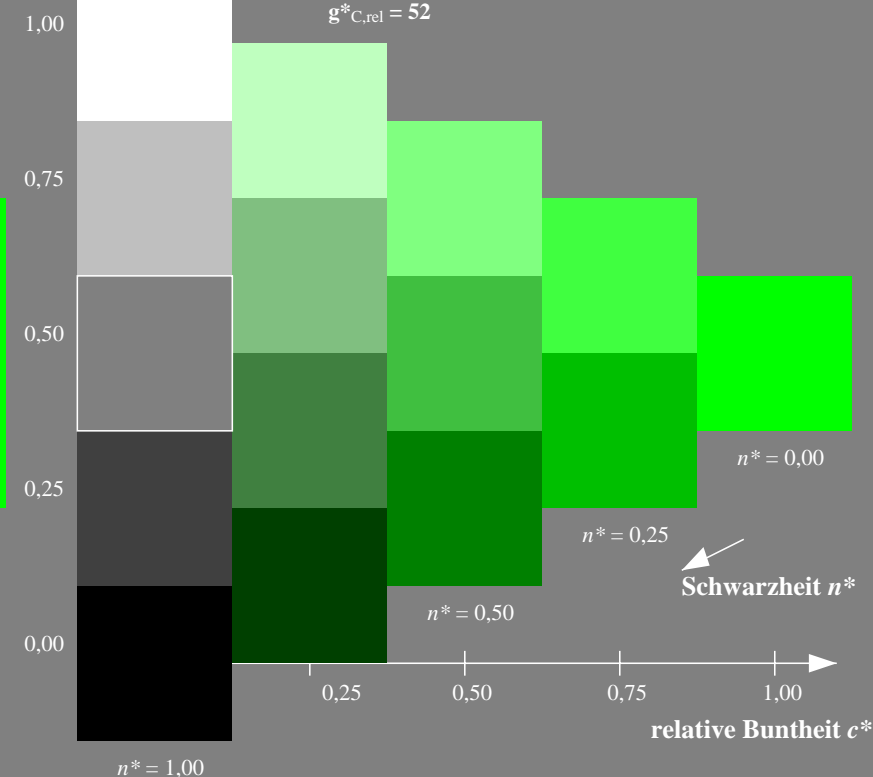
rgb*Ma: 0.0 1.0 0.0

Dreiecks-Helligkeit t^* 

%Umfang
 $u^*_{rel} = 91$
%Regularität
 $g^*_{H,rel} = 41$
 $g^*_{C,rel} = 52$

MRS18; adaptierte CIELAB-Daten

	$L^*=L^*_a$	a^*_a	b^*_a	$C^*_{ab,a}$	$h^*_{ab,a}$
RMa	49.63	66.96	38.37	77.18	30
JMa	90.7	-6.36	88.75	88.98	94
GMa	52.11	-69.73	9.44	70.37	172
G50BMa	45.03	-36.57	-28.47	46.36	218
BMa	36.65	23.19	-63.05	67.18	290
B50RMa	34.94	57.17	-44.26	72.31	322
NMa	18.01	0.0	0.0	0.0	0
WMa	95.41	0.0	0.0	0.0	0
RCIE	39.92	58.66	26.98	64.56	25
JCIE	81.26	-2.17	67.76	67.79	92
GCIE	52.23	-42.26	11.75	43.87	164
BCIE	30.57	1.15	-46.84	46.87	271



5stufige Reihen für konstanten CIELAB Buntton 172/360 = 0.479 (rechts)

output: Startup (S) data dependend

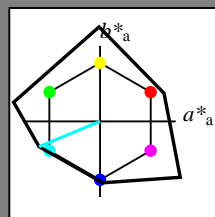
Eingabe: Farbmatisches Reflexions-System NCS11

für Buntton $h^* = lab^*h = 203/360 = 0.563$ lab^*ich und lab^*nch

D65: Buntton G50B

LCH*Ma: 59 87 203

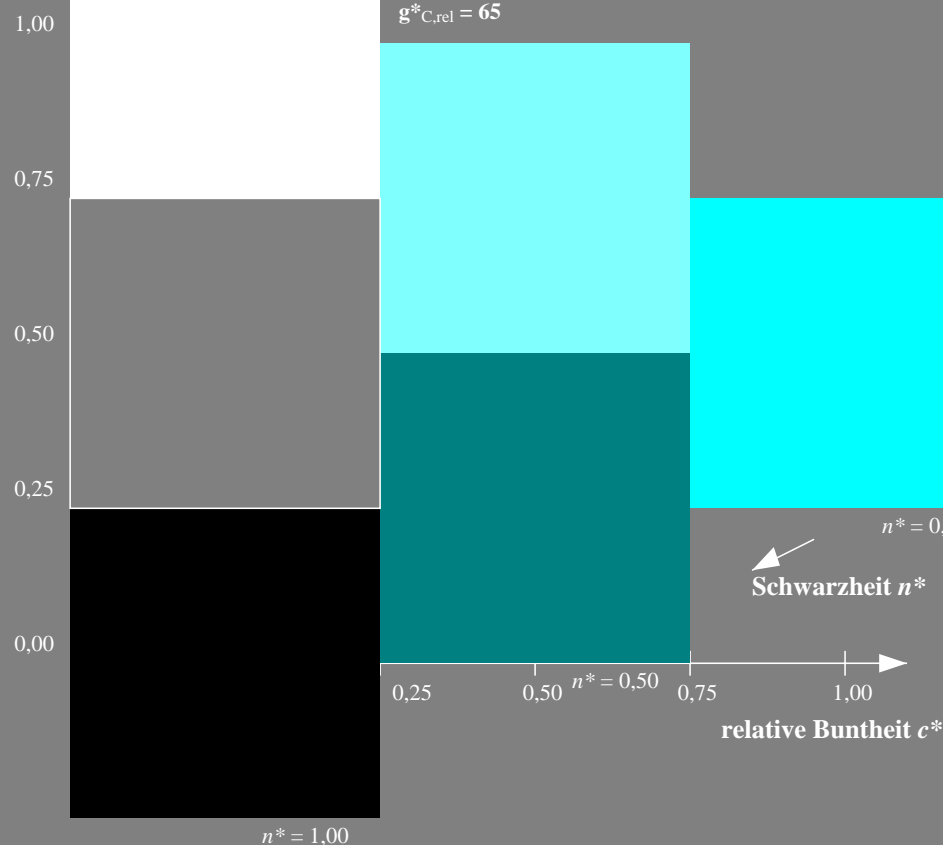
rgb*Ma: 0.0 1.0 1.0

Dreiecks-Helligkeit t^* 

%Umfang
 $u^*_{rel} = 149$
%Regularität
 $g^*_{H,rel} = 46$
 $g^*_{C,rel} = 65$

NCS11; adaptierte CIELAB-Daten

	$L^*=L^*_a$	a^*_a	b^*_a	$C^*_{ab,a}$	$h^*_{ab,a}$
RMa	47.15	84.64	37.25	92.48	24
JMa	91.37	-1.27	125.03	125.03	91
GMa	63.07	-114.28	25.35	117.06	167
G50BMa	59.47	-80.6	-33.45	87.28	203
BMa	49.01	3.65	-81.19	81.28	273
B50RMa	44.06	106.09	-73.93	129.32	325
NMa	10.99	0.0	0.0	0.0	0
WMa	95.41	0.0	0.0	0.0	0
RCIE	39.92	58.69	27.98	65.01	25
JCIE	81.26	-2.9	71.56	71.62	92
GCIE	52.23	-42.45	13.59	44.59	162
BCIE	30.57	1.35	-46.48	46.51	272



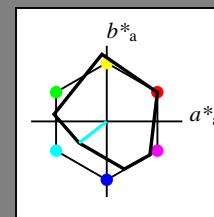
Ausgabe: Farbmatisches Reflexions-System MRS18

für Buntton $h^* = lab^*h = 218/360 = 0.605$ lab^*ich und lab^*nch

D65: Buntton G50B

LCH*Ma: 45 46 218

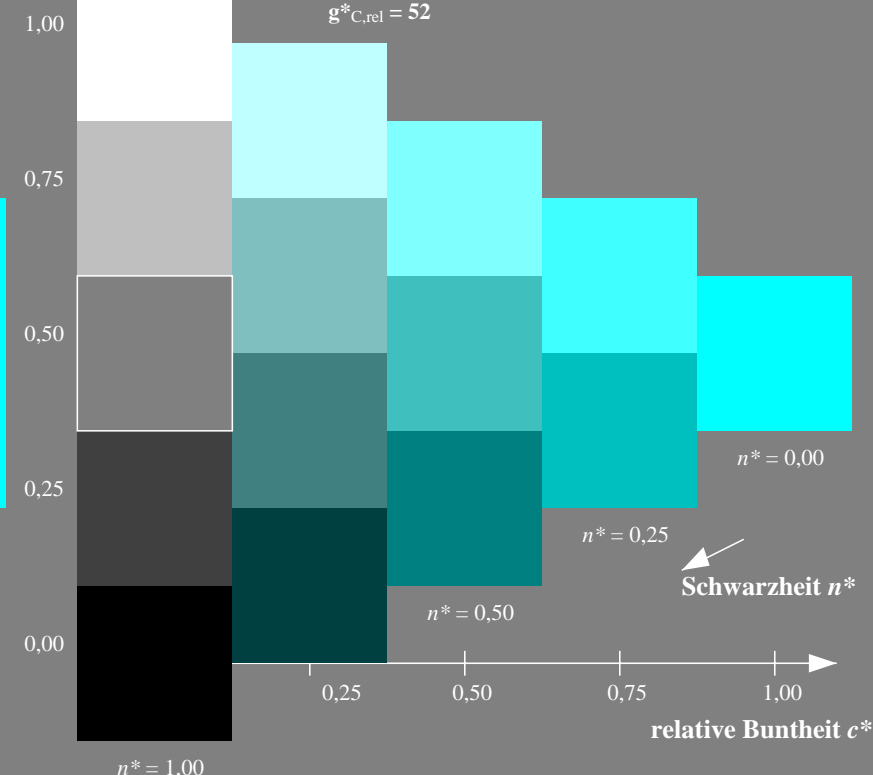
rgb*Ma: 0.0 1.0 1.0

Dreiecks-Helligkeit t^* 

%Umfang
 $u^*_{rel} = 91$
%Regularität
 $g^*_{H,rel} = 41$
 $g^*_{C,rel} = 52$

MRS18; adaptierte CIELAB-Daten

	$L^*=L^*_a$	a^*_a	b^*_a	$C^*_{ab,a}$	$h^*_{ab,a}$
RMa	49.63	66.96	38.37	77.18	30
JMa	90.7	-6.36	88.75	88.98	94
GMa	52.11	-69.73	9.44	70.37	172
G50BMa	45.03	-36.57	-28.47	46.36	218
BMa	36.65	23.19	-63.05	67.18	290
B50RMa	34.94	57.17	-44.26	72.31	322
NMa	18.01	0.0	0.0	0.0	0
WMa	95.41	0.0	0.0	0.0	0
RCIE	39.92	58.66	26.98	64.56	25
JCIE	81.26	-2.17	67.76	67.79	92
GCIE	52.23	-42.26	11.75	43.87	164
BCIE	30.57	1.15	-46.84	46.87	271



TG880-7, 3stufige Reihen für konstanten CIELAB Buntton 203/360 = 0.563 (links)

5stufige Reihen für konstanten CIELAB Buntton 218/360 = 0.605 (rechts)

BAM-Prüfvorlage TG88; Farbmatrik-Systeme ORS18 & ORS18 input: $olv^* setrgbcolor$

D65: 3 und 5stufige Farbreihen für 10 Bunttöne

output: Startup (S) data dependend

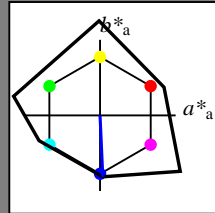
Eingabe: Farbmatisches Reflexions-System NCS11

für Buntton $h^* = lab^*h = 273/360 = 0.757$ lab^*ich und lab^*nch

D65: Buntton B

LCH*Ma: 49 81 273

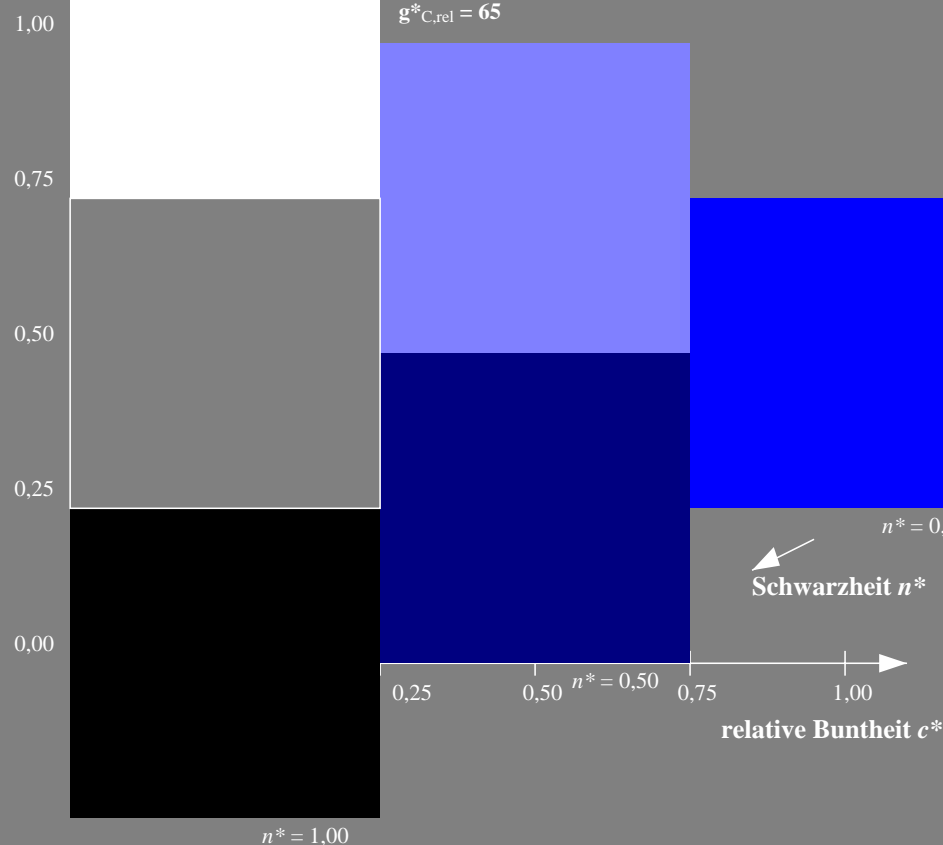
rgb*Ma: 0.0 0.0 1.0

Dreiecks-Helligkeit t^* 

%Umfang
 $u^*_{rel} = 149$
%Regularität
 $g^*_{H,rel} = 46$
 $g^*_{C,rel} = 65$

NCS11; adaptierte CIELAB-Daten

	$L^*=L^*_a$	a^*_a	b^*_a	$C^*_{ab,a}$	$h^*_{ab,a}$
RMa	47.15	84.64	37.25	92.48	24
JMa	91.37	-1.27	125.03	125.03	91
GMa	63.07	-114.28	25.35	117.06	167
G50BMa	59.47	-80.6	-33.45	87.28	203
BMa	49.01	3.65	-81.19	81.28	273
B50RMa	44.06	106.09	-73.93	129.32	325
NMa	10.99	0.0	0.0	0.0	0
WMa	95.41	0.0	0.0	0.0	0
RCIE	39.92	58.69	27.98	65.01	25
JCIE	81.26	-2.9	71.56	71.62	92
GCIE	52.23	-42.45	13.59	44.59	162
BCIE	30.57	1.35	-46.48	46.51	272



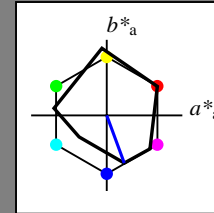
Ausgabe: Farbmatisches Reflexions-System MRS18

für Buntton $h^* = lab^*h = 290/360 = 0.806$ lab^*ich und lab^*nch

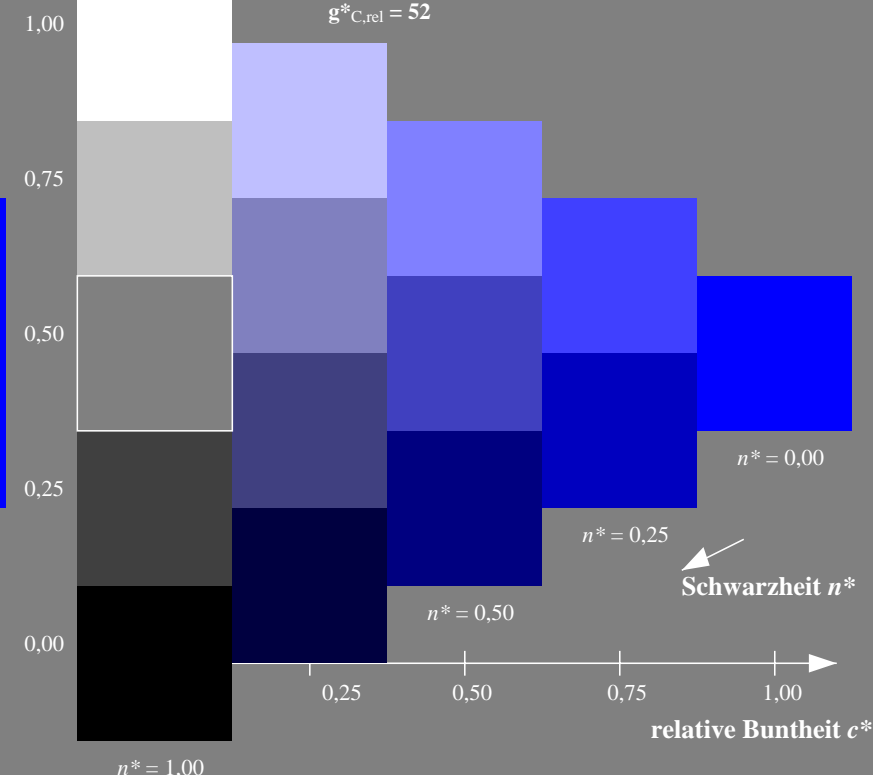
D65: Buntton B

LCH*Ma: 37 67 290

rgb*Ma: 0.0 0.0 1.0

Dreiecks-Helligkeit t^* 

%Umfang
 $u^*_{rel} = 91$
%Regularität
 $g^*_{H,rel} = 41$
 $g^*_{C,rel} = 52$



TG880-7, 3stufige Reihen für konstanten CIELAB Buntton 273/360 = 0.757 (links)

5stufige Reihen für konstanten CIELAB Buntton 290/360 = 0.806 (rechts)

BAM-Prüfvorlage TG88; Farbmeter-Systeme ORS18 & ORS18 input: $olv^* setrgbcolor$

D65: 3 und 5stufige Farbreihen für 10 Bunttöne

output: Startup (S) data dependend

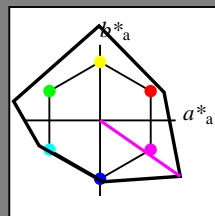
Eingabe: Farbmetrisches Reflexions-System NCS11

für Buntton $h^* = lab^*h = 325/360 = 0.903$ lab^*ich und lab^*nch

D65: Buntton B50R

LCH*Ma: 44 129 325

rgb*Ma: 1.0 0.0 1.0

Dreiecks-Helligkeit t^* 

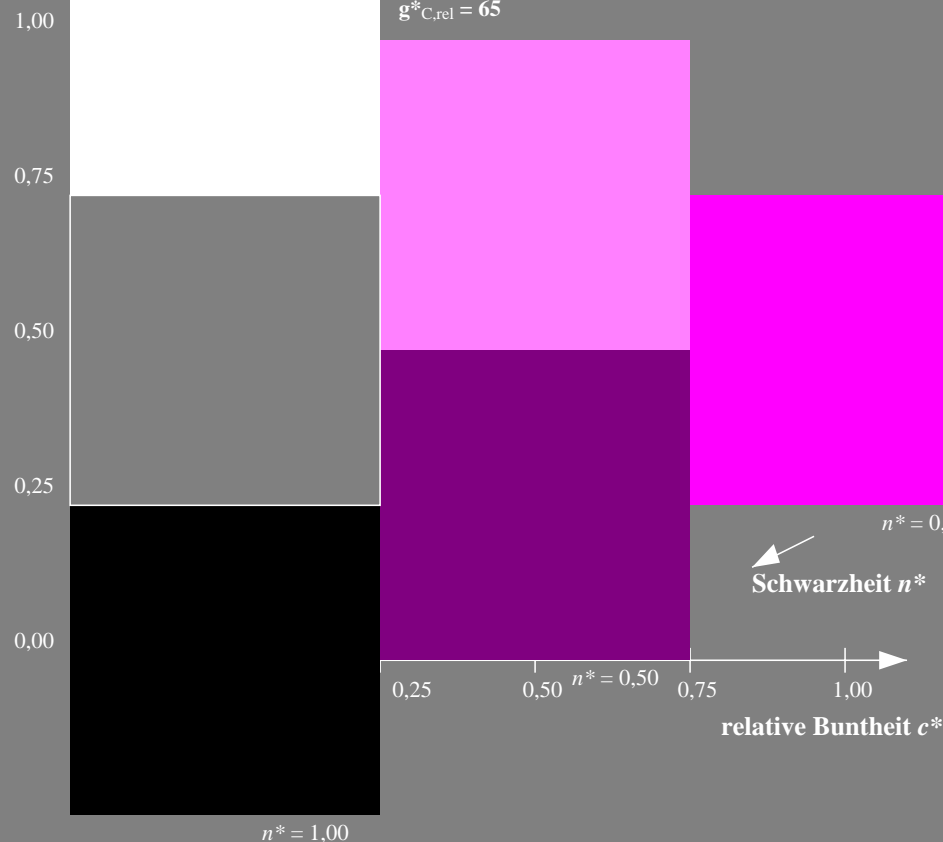
NCS11; adaptierte CIELAB-Daten

	$L^*=L_a^*$	a_a^*	b_a^*	$C_{ab,a}^*$	$h_{ab,a}^*$
RMa	47.15	84.64	37.25	92.48	24
JMa	91.37	-1.27	125.03	125.03	91
GMa	63.07	-114.28	25.35	117.06	167
G50BMa	59.47	-80.6	-33.45	87.28	203
BMa	49.01	3.65	-81.19	81.28	273
B50RMa	44.06	106.09	-73.93	129.32	325
NMa	10.99	0.0	0.0	0.0	0
WMa	95.41	0.0	0.0	0.0	0
RCIE	39.92	58.69	27.98	65.01	25
JCIE	81.26	-2.9	71.56	71.62	92
GCIE	52.23	-42.45	13.59	44.59	162
BCIE	30.57	1.35	-46.48	46.51	272

%Umfang

 $u_{rel}^* = 149$

%Regularität

 $g_{H,rel}^* = 46$ $g_{C,rel}^* = 65$ 

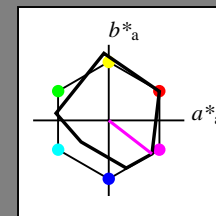
Ausgabe: Farbmetrisches Reflexions-System MRS18

für Buntton $h^* = lab^*h = 322/360 = 0.895$ lab^*ich und lab^*nch

D65: Buntton B50R

LCH*Ma: 35 72 322

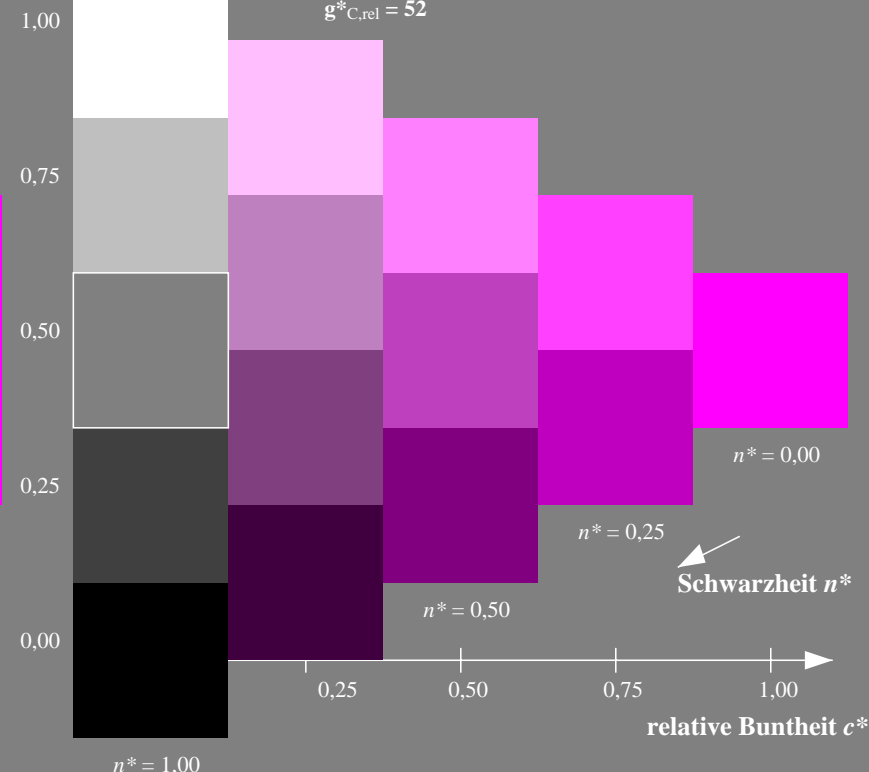
rgb*Ma: 1.0 0.0 1.0

Dreiecks-Helligkeit t^* 

%Umfang

 $u_{rel}^* = 91$

%Regularität

 $g_{H,rel}^* = 41$ $g_{C,rel}^* = 52$ 

MRS18; adaptierte CIELAB-Daten

	$L^*=L_a^*$	a_a^*	b_a^*	$C_{ab,a}^*$	$h_{ab,a}^*$
RMa	49.63	66.96	38.37	77.18	30
JMa	90.7	-6.36	88.75	88.98	94
GMa	52.11	-69.73	9.44	70.37	172
G50BMa	45.03	-36.57	-28.47	46.36	218
BMa	36.65	23.19	-63.05	67.18	290
B50RMa	34.94	57.17	-44.26	72.31	322
NMa	18.01	0.0	0.0	0.0	0
WMa	95.41	0.0	0.0	0.0	0
RCIE	39.92	58.66	26.98	64.56	25
JCIE	81.26	-2.17	67.76	67.79	92
GCIE	52.23	-42.26	11.75	43.87	164
BCIE	30.57	1.15	-46.84	46.87	271

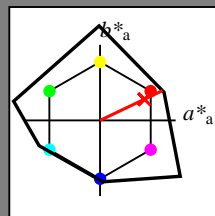
Eingabe: Farbmatisches Reflexions-System NCS11

für Buntton $h^* = lab^*h = 25/360 = 0.071$ lab^*ich und lab^*nch

D65: Buntton R

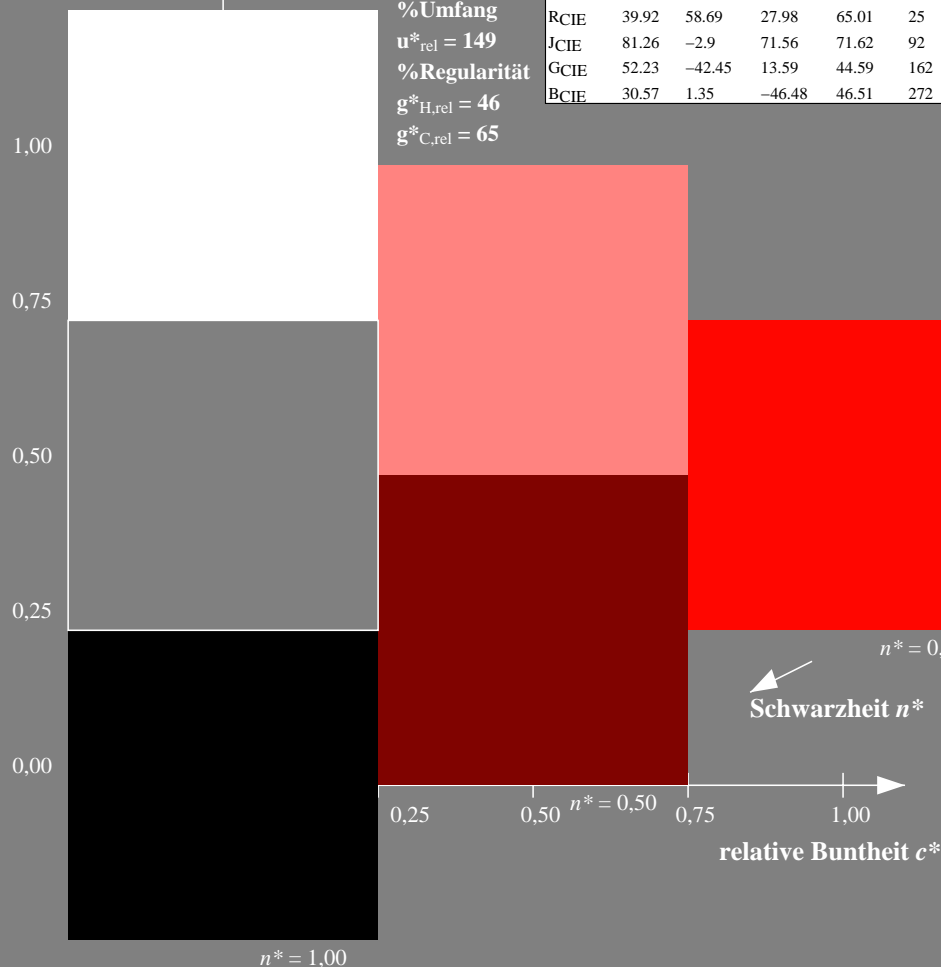
LCH*Ma: 48 91 25

rgb*Ma: 1.0 0.02 0.0

Dreiecks-Helligkeit t^* %Umfang
 $u^*_{rel} = 149$
%Regularität
 $g^*_{H,rel} = 46$
 $g^*_{C,rel} = 65$

NCS11; adaptierte CIELAB-Daten

	$L^*=L^*_a$	a^*_a	b^*_a	$C^*_{ab,a}$	$h^*_{ab,a}$
RMa	47.15	84.64	37.25	92.48	24
JMa	91.37	-1.27	125.03	125.03	91
GMa	63.07	-114.28	25.35	117.06	167
G50BMa	59.47	-80.6	-33.45	87.28	203
BMa	49.01	3.65	-81.19	81.28	273
B50RMa	44.06	106.09	-73.93	129.32	325
NMa	10.99	0.0	0.0	0.0	0
WMa	95.41	0.0	0.0	0.0	0
RCIE	39.92	58.69	27.98	65.01	25
JCIE	81.26	-2.9	71.56	71.62	92
GCIE	52.23	-42.45	13.59	44.59	162
BCIE	30.57	1.35	-46.48	46.51	272



TG880-7, 3stufige Reihen für konstanten CIELAB Buntton 25/360 = 0.071 (links)

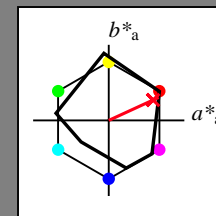
Ausgabe: Farbmatisches Reflexions-System MRS18

für Buntton $h^* = lab^*h = 25/360 = 0.069$ lab^*ich und lab^*nch

D65: Buntton R

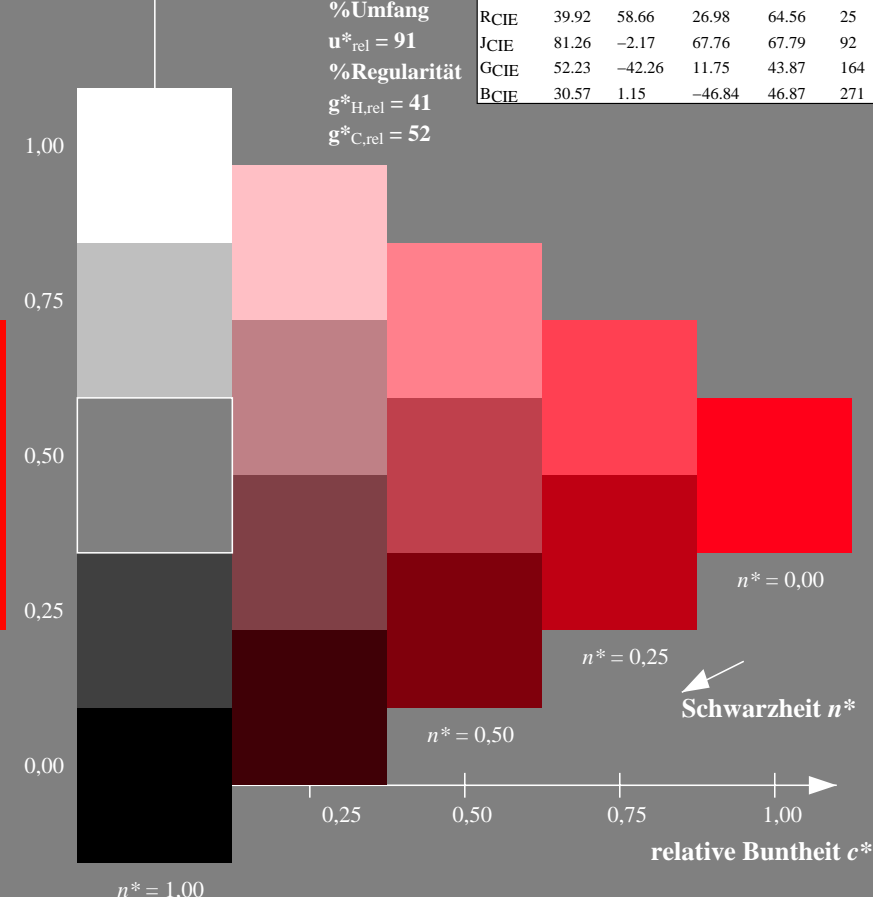
LCH*Ma: 48 73 25

rgb*Ma: 1.0 0.0 0.1

Dreiecks-Helligkeit t^* %Umfang
 $u^*_{rel} = 91$
%Regularität
 $g^*_{H,rel} = 41$
 $g^*_{C,rel} = 52$

MRS18; adaptierte CIELAB-Daten

	$L^*=L^*_a$	a^*_a	b^*_a	$C^*_{ab,a}$	$h^*_{ab,a}$
RMa	49.63	66.96	38.37	77.18	30
JMa	90.7	-6.36	88.75	88.98	94
GMa	52.11	-69.73	9.44	70.37	172
G50BMa	45.03	-36.57	-28.47	46.36	218
BMa	36.65	23.19	-63.05	67.18	290
B50RMa	34.94	57.17	-44.26	72.31	322
NMa	18.01	0.0	0.0	0.0	0
WMa	95.41	0.0	0.0	0.0	0
RCIE	39.92	58.66	26.98	64.56	25
JCIE	81.26	-2.17	67.76	67.79	92
GCIE	52.23	-42.26	11.75	43.87	164
BCIE	30.57	1.15	-46.84	46.87	271



5stufige Reihen für konstanten CIELAB Buntton 25/360 = 0.069 (rechts)

BAM-Prüfvorlage TG88; Farbmatrik-Systeme ORS18 & ORS18 input: $olv^* setrgbcolor$

D65: 3 und 5stufige Farbreihen für 10 Bunttöne

output: Startup (S) data dependend

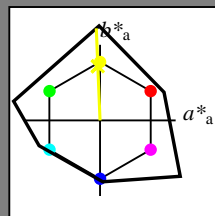
Eingabe: Farbmetrisches Reflexions-System NCS11

für Buntton $h^* = lab^*h = 92/360 = 0.256$ lab^*ich und lab^*nch

D65: Buntton J

LCH*Ma: 90 122 92

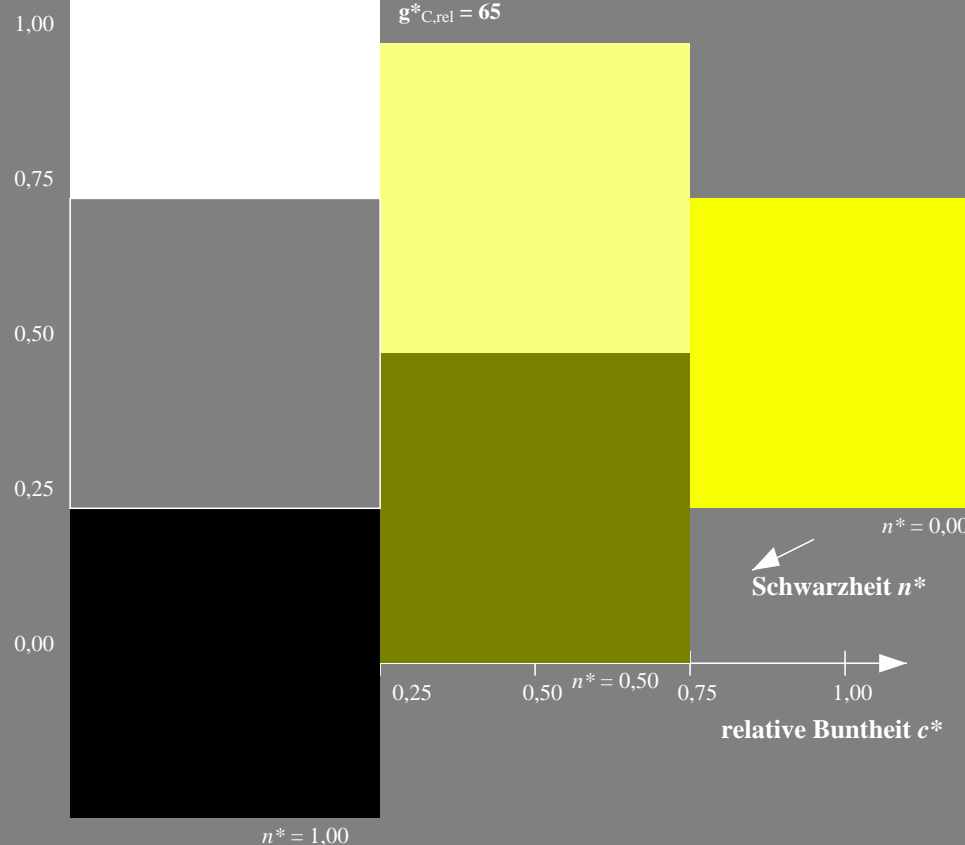
rgb*Ma: 0.97 1.0 0.0

Dreiecks-Helligkeit t^* 

%Umfang
 $u^*_{rel} = 149$
%Regularität
 $g^*_{H,rel} = 46$
 $g^*_{C,rel} = 65$

NCS11; adaptierte CIELAB-Daten

	$L^*=L^*_a$	a^*_a	b^*_a	$C^*_{ab,a}$	$h^*_{ab,a}$
RMa	47.15	84.64	37.25	92.48	24
JMa	91.37	-1.27	125.03	125.03	91
GMa	63.07	-114.28	25.35	117.06	167
G50BMa	59.47	-80.6	-33.45	87.28	203
BMa	49.01	3.65	-81.19	81.28	273
B50RMa	44.06	106.09	-73.93	129.32	325
NMa	10.99	0.0	0.0	0.0	0
WMa	95.41	0.0	0.0	0.0	0
RCIE	39.92	58.69	27.98	65.01	25
JCIE	81.26	-2.9	71.56	71.62	92
GCIE	52.23	-42.45	13.59	44.59	162
BCIE	30.57	1.35	-46.48	46.51	272



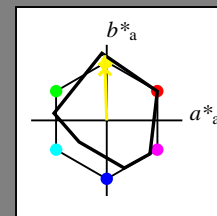
Ausgabe: Farbmetrisches Reflexions-System MRS18

für Buntton $h^* = lab^*h = 92/360 = 0.255$ lab^*ich und lab^*nch

D65: Buntton J

LCH*Ma: 89 86 92

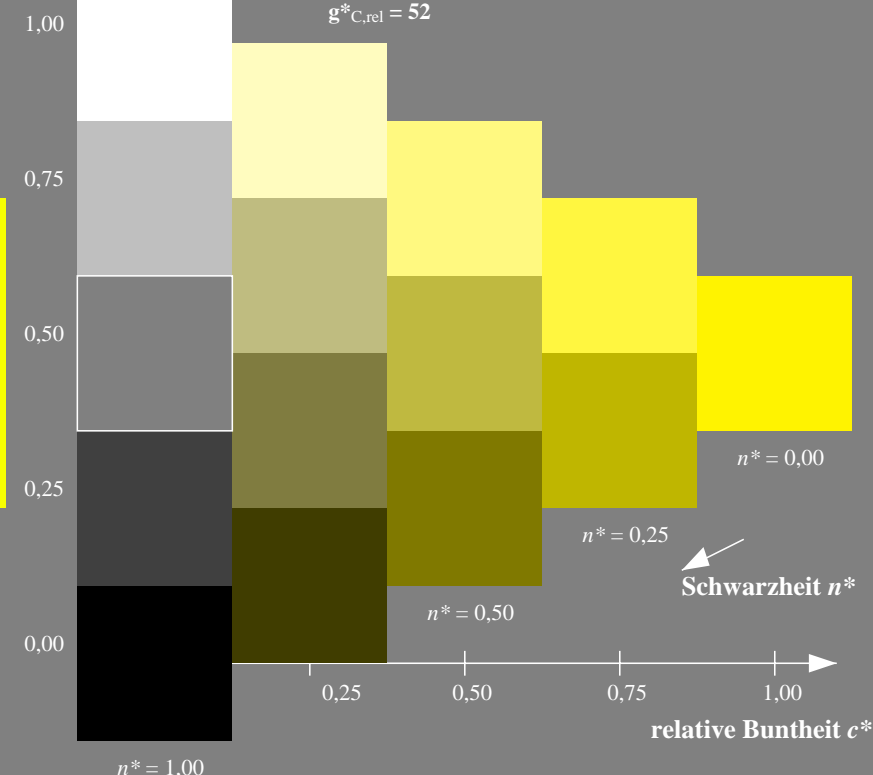
rgb*Ma: 1.0 0.95 0.0

Dreiecks-Helligkeit t^* 

%Umfang
 $u^*_{rel} = 91$
%Regularität
 $g^*_{H,rel} = 41$
 $g^*_{C,rel} = 52$

MRS18; adaptierte CIELAB-Daten

	$L^*=L^*_a$	a^*_a	b^*_a	$C^*_{ab,a}$	$h^*_{ab,a}$
RMa	49.63	66.96	38.37	77.18	30
JMa	90.7	-6.36	88.75	88.98	94
GMa	52.11	-69.73	9.44	70.37	172
G50BMa	45.03	-36.57	-28.47	46.36	218
BMa	36.65	23.19	-63.05	67.18	290
B50RMa	34.94	57.17	-44.26	72.31	322
NMa	18.01	0.0	0.0	0.0	0
WMa	95.41	0.0	0.0	0.0	0
RCIE	39.92	58.66	26.98	64.56	25
JCIE	81.26	-2.17	67.76	67.79	92
GCIE	52.23	-42.26	11.75	43.87	164
BCIE	30.57	1.15	-46.84	46.87	271



TG880-7, 3stufige Reihen für konstanten CIELAB Buntton 92/360 = 0.256 (links)

5stufige Reihen für konstanten CIELAB Buntton 92/360 = 0.255 (rechts)

BAM-Prüfvorlage TG88; Farbmetrik-Systeme ORS18 & ORS18 input: $olv^* setrgbcolor$

D65: 3 und 5stufige Farbreihen für 10 Bunttöne

output: Startup (S) data dependend

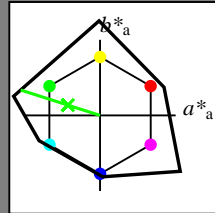
Eingabe: Farbmatisches Reflexions-System NCS11

für Buntton $h^* = lab^*h = 162/360 = 0.451$ lab^*ich und lab^*nch

D65: Buntton G

LCH*Ma: 65 110 162

rgb*Ma: 0.08 1.0 0.0

Dreiecks-Helligkeit t^* 

%Umfang

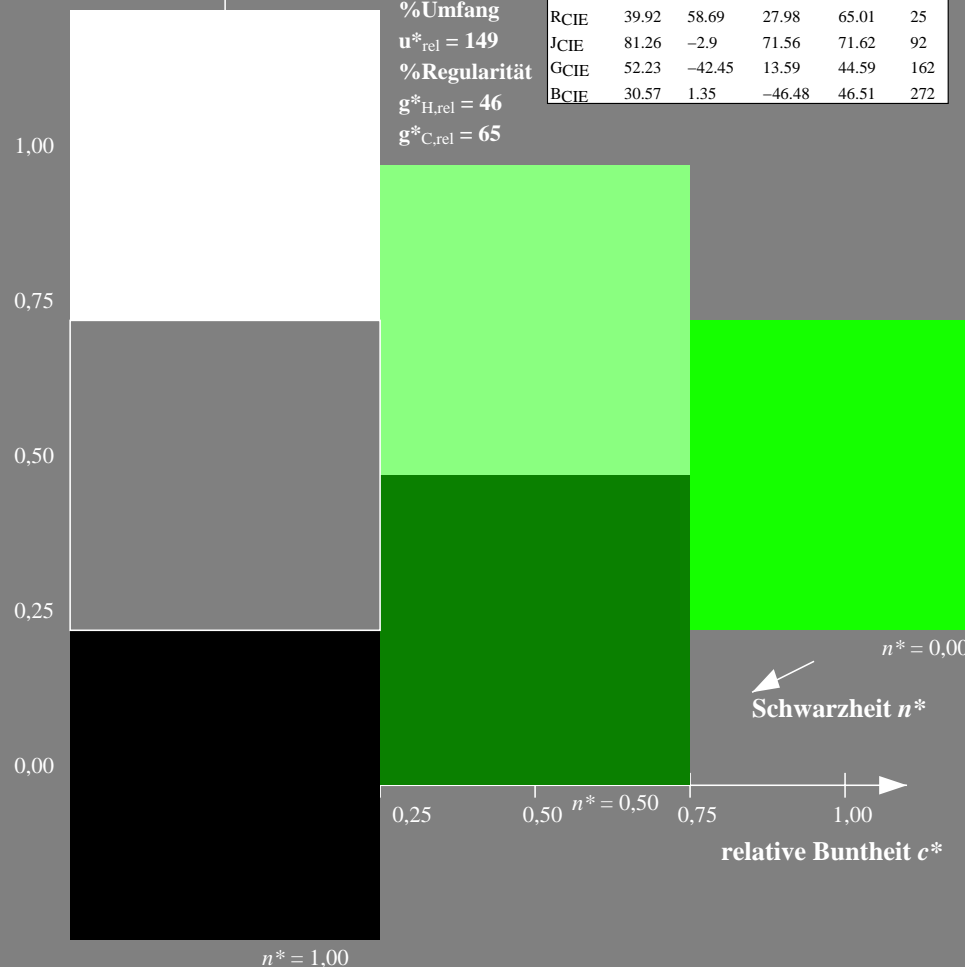
 $u^*_{rel} = 149$

%Regularität

 $g^*_{H,rel} = 46$ $g^*_{C,rel} = 65$

NCS11; adaptierte CIELAB-Daten

	$L^*=L^*_a$	a^*_a	b^*_a	$C^*_{ab,a}$	$h^*_{ab,a}$
RMa	47.15	84.64	37.25	92.48	24
JMa	91.37	-1.27	125.03	125.03	91
GMa	63.07	-114.28	25.35	117.06	167
G50BMa	59.47	-80.6	-33.45	87.28	203
BMa	49.01	3.65	-81.19	81.28	273
B50RMa	44.06	106.09	-73.93	129.32	325
NMa	10.99	0.0	0.0	0.0	0
WMa	95.41	0.0	0.0	0.0	0
RCIE	39.92	58.69	27.98	65.01	25
JCIE	81.26	-2.9	71.56	71.62	92
GCIE	52.23	-42.45	13.59	44.59	162
BCIE	30.57	1.35	-46.48	46.51	272



TG880-7, 3stufige Reihen für konstanten CIELAB Buntton 162/360 = 0.451 (links)

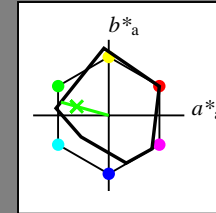
Ausgabe: Farbmatisches Reflexions-System MRS18

für Buntton $h^* = lab^*h = 164/360 = 0.457$ lab^*ich und lab^*nch

D65: Buntton G

LCH*Ma: 56 66 164

rgb*Ma: 0.1 1.0 0.0

Dreiecks-Helligkeit t^* 

%Umfang

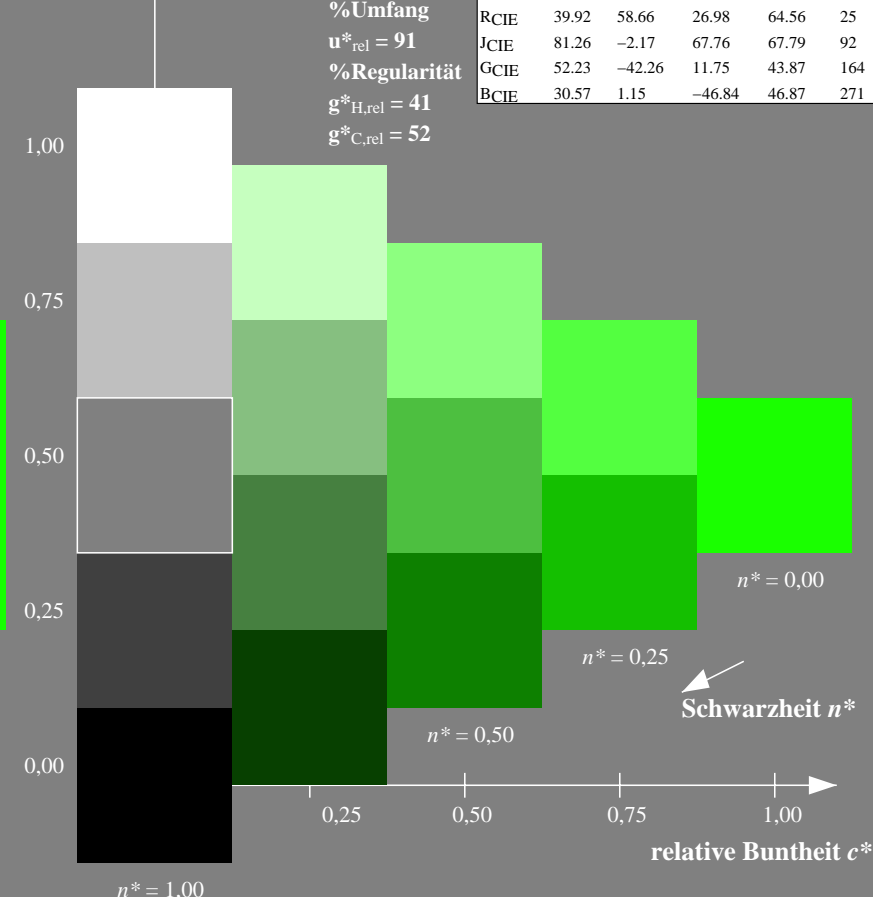
 $u^*_{rel} = 91$

%Regularität

 $g^*_{H,rel} = 41$ $g^*_{C,rel} = 52$

MRS18; adaptierte CIELAB-Daten

	$L^*=L^*_a$	a^*_a	b^*_a	$C^*_{ab,a}$	$h^*_{ab,a}$
RMa	49.63	66.96	38.37	77.18	30
JMa	90.7	-6.36	88.75	88.98	94
GMa	52.11	-69.73	9.44	70.37	172
G50BMa	45.03	-36.57	-28.47	46.36	218
BMa	36.65	23.19	-63.05	67.18	290
B50RMa	34.94	57.17	-44.26	72.31	322
NMa	18.01	0.0	0.0	0.0	0
WMa	95.41	0.0	0.0	0.0	0
RCIE	39.92	58.66	26.98	64.56	25
JCIE	81.26	-2.17	67.76	67.79	92
GCIE	52.23	-42.26	11.75	43.87	164
BCIE	30.57	1.15	-46.84	46.87	271



5stufige Reihen für konstanten CIELAB Buntton 164/360 = 0.457 (rechts)

BAM-Prüfvorlage TG88; Farbmatrik-Systeme ORS18 & ORS18 input: $olv^* setrgbcolor$

D65: 3 und 5stufige Farbreihen für 10 Bunttöne

output: Startup (S) data dependend

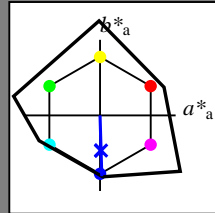
Eingabe: Farbmatisches Reflexions-System NCS11

für Buntton $h^* = lab^*h = 272/360 = 0.755$ lab^*ich und lab^*nch

D65: Buntton B

LCH*Ma: 49 80 272

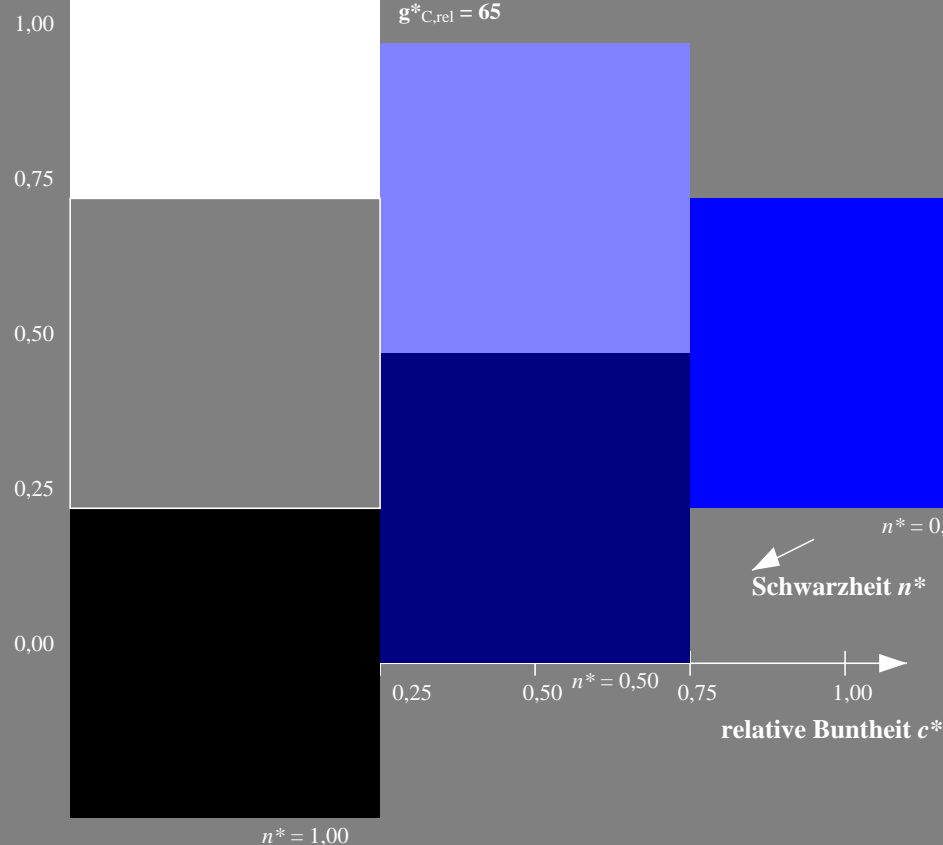
rgb*Ma: 0.0 0.02 1.0

Dreiecks-Helligkeit t^* 

%Umfang
 $u^*_{rel} = 149$
%Regularität
 $g^*_{H,rel} = 46$
 $g^*_{C,rel} = 65$

NCS11; adaptierte CIELAB-Daten

	$L^*=L^*_a$	a^*_a	b^*_a	$C^*_{ab,a}$	$h^*_{ab,a}$
RMa	47.15	84.64	37.25	92.48	24
JMa	91.37	-1.27	125.03	125.03	91
GMa	63.07	-114.28	25.35	117.06	167
G50BMa	59.47	-80.6	-33.45	87.28	203
BMa	49.01	3.65	-81.19	81.28	273
B50RMa	44.06	106.09	-73.93	129.32	325
NMa	10.99	0.0	0.0	0.0	0
WMa	95.41	0.0	0.0	0.0	0
RCIE	39.92	58.69	27.98	65.01	25
JCIE	81.26	-2.9	71.56	71.62	92
GCIE	52.23	-42.45	13.59	44.59	162
BCIE	30.57	1.35	-46.48	46.51	272



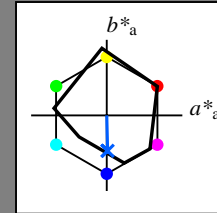
Ausgabe: Farbmatisches Reflexions-System MRS18

für Buntton $h^* = lab^*h = 271/360 = 0.754$ lab^*ich und lab^*nch

D65: Buntton B

LCH*Ma: 40 50 271

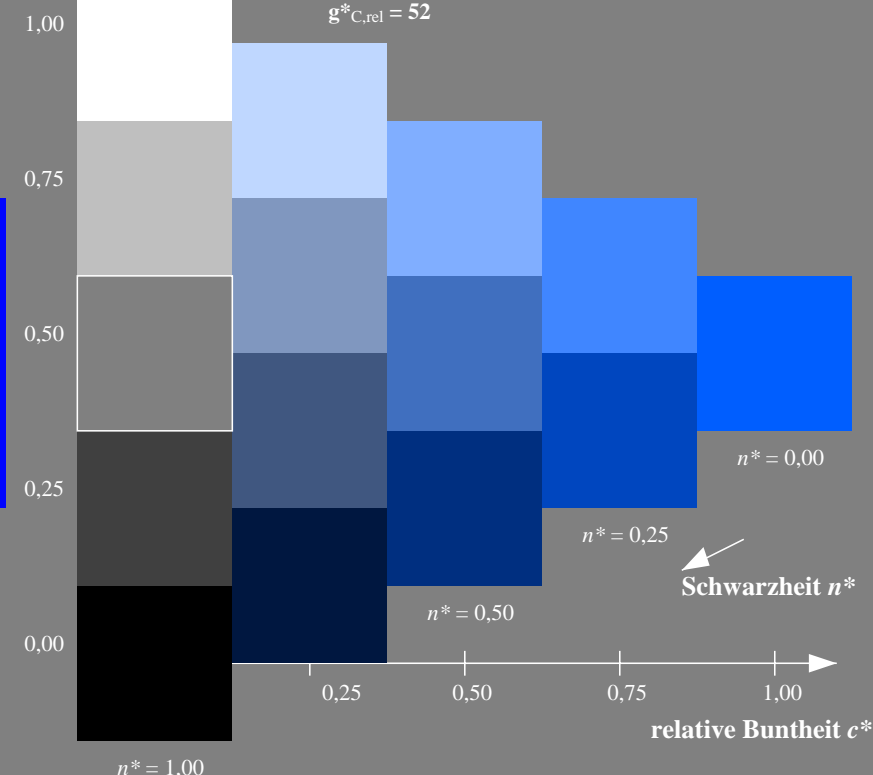
rgb*Ma: 0.0 0.37 1.0

Dreiecks-Helligkeit t^* 

%Umfang
 $u^*_{rel} = 91$
%Regularität
 $g^*_{H,rel} = 41$
 $g^*_{C,rel} = 52$

MRS18; adaptierte CIELAB-Daten

	$L^*=L^*_a$	a^*_a	b^*_a	$C^*_{ab,a}$	$h^*_{ab,a}$
RMa	49.63	66.96	38.37	77.18	30
JMa	90.7	-6.36	88.75	88.98	94
GMa	52.11	-69.73	9.44	70.37	172
G50BMa	45.03	-36.57	-28.47	46.36	218
BMa	36.65	23.19	-63.05	67.18	290
B50RMa	34.94	57.17	-44.26	72.31	322
NMa	18.01	0.0	0.0	0.0	0
WMa	95.41	0.0	0.0	0.0	0
RCIE	39.92	58.66	26.98	64.56	25
JCIE	81.26	-2.17	67.76	67.79	92
GCIE	52.23	-42.26	11.75	43.87	164
BCIE	30.57	1.15	-46.84	46.87	271



TG880-7, 3stufige Reihen für konstanten CIELAB Buntton 272/360 = 0.755 (links)

5stufige Reihen für konstanten CIELAB Buntton 271/360 = 0.754 (rechts)

BAM-Prüfvorlage TG88; Farbmeter-Systeme ORS18 & ORS18 input: $olv^* setrgbcolor$

D65: 3 und 5stufige Farbreihen für 10 Bunttöne

output: Startup (S) data dependend